



# Influência do Suporte em Catalisadores de Ni Obtidos Pelo Método da Combustão na Reforma a Seco do Biogás para Produção de Hidrogênio Sustentável

José L. C. Cordeiro<sup>1,2,\*</sup>; Muddasar Safdar<sup>3</sup>; Jefferson S. Silva<sup>2</sup>; Gabrielle S. De Aquino<sup>2</sup>; Mauricio B. dos Santos; Fernanda T. Cruz<sup>1,2</sup>; Raildo A. Fiuza-Júnior<sup>1,2</sup>; Bogdan Dorneanu<sup>3</sup>; Harvey Arellano-Garcia<sup>3</sup>; Karen V. Pontes<sup>1,4</sup>; Artur J. S. Mascarenhas<sup>1,2</sup>

## Resumo/Abstract

RESUMO –Este estudo avaliou catalisadores de NiO suportados em MgO, ZrO<sub>2</sub>, Al<sub>2</sub>O<sub>3</sub>, La<sub>2</sub>O<sub>3</sub> e CeO<sub>2</sub> para reforma a seco do biogás. As caracterizações revelaram variações na dispersão metálica, área metálica e morfologia superficial. Os catalisadores NiO-Al<sub>2</sub>O<sub>3</sub> e NiO-CeO<sub>2</sub> apresentaram maior área metálica e melhor dispersão de Ni, favorecendo altas conversões de CH<sub>4</sub> e CO<sub>2</sub> e bom rendimento em H<sub>2</sub>. O NiO-Al<sub>2</sub>O<sub>3</sub> foi o mais eficiente e estável por 8 horas de reação. O NiO-La<sub>2</sub>O<sub>3</sub> mostrou aumento progressivo da atividade e boa resistência ao coque. O NiO-CeO<sub>2</sub>, embora ativo no início, desativou com o tempo devido à deposição de coque (6,4%). A análise pós-reação mostrou baixa formação de coque na maioria dos catalisadores. Os resultados indicam que o suporte tem papel determinante na atividade, estabilidade e resistência dos catalisadores na reforma a seco do biogás.

Palavras-chave: Hidrogênio sustentável; Reforma a seco do biogás; Catalisadores de NiO; efeito do suporte

ABSTRACT - This study evaluates NiO-based catalysts supported on MgO, ZrO<sub>2</sub>, Al<sub>2</sub>O<sub>3</sub>, La<sub>2</sub>O<sub>3</sub>, and CeO<sub>2</sub> for the dry reforming of biogas. Characterization of the samples revealed differences in metal dispersion, metallic area, and surface morphology. NiO-Al<sub>2</sub>O<sub>3</sub> and NiO-CeO<sub>2</sub> show higher metallic areas and better Ni dispersion, leading to higher CH<sub>4</sub> and CO<sub>2</sub> conversions and good H<sub>2</sub> yield. NiO-Al<sub>2</sub>O<sub>3</sub> is the most efficient and stable catalyst over 8 hours of reaction. NiO-La<sub>2</sub>O<sub>3</sub> shows a gradual increase in activity and good coke resistance. Conversely, NiO-CeO<sub>2</sub>, despite high initial activity, deactivates over time due to coke deposition (6.4%). Post-reaction analysis confirmed low coke formation for most catalysts. The results indicate that the choice of support directly affects catalyst activity, stability, and resistance.

Keywords: Sustainable hydrogen; Biogas dry reforming; NiO Catalysts; Support role.

# Introdução

A produção de hidrogênio sustentável como um novo vetor energético é de fundamental importância para a transição energética para uma economia de baixo carbono (1). Uma das maneiras de se produzir hidrogênio é via reforma a seco do biogás, um gás gerado pela decomposição da matéria orgânica e composto predominantemente de metano (CH<sub>4</sub>) e dióxido de carbono (CO<sub>2</sub>). A reforma a seco

do biogás além de produzir hidrogênio e ajudar na redução da emissão de gases estufa, produz gás de síntese, uma mistura gasosa ( $H_2 + CO$ ), que tem uma importância industrial muito grande para produção de hidrocarbonetos, dimetil éter, biocombustíveis, entre outros produtos de elevado valor agregado (2). A Equação 1 apresenta a reação de reforma a seco do biogás.

 $CH_4(g) + CO_2(g) \rightleftharpoons 2H_2(g) + 2CO(g), \Delta H^0 = 247 \, kJ/mol(1)$ 

<sup>&</sup>lt;sup>1</sup> Programa de Pós-Graduação em Energia e Ambiente (PGENAM), Centro Interdisciplinar de Energia e Ambiente (CIENAM), Universidade Federal da Bahia, R. Barão de Jeremoabo, s/n, Campus de Ondina, 40170-115, Salvador, Bahia, Brazil. jose.cunha@ufba.br

<sup>&</sup>lt;sup>2</sup> Laboratório de Catálise e Materiais (LABCAT), Instituto de Química, Departamento de Química Geral e Inorgânica, Universidade Federal da Bahia, Trav. Barão de Jeremoabo, 147, Campus de Ondina, 40170-280, Salvador, Bahia, Brazil. Site: www.labcat.ufba.br; Instagram: @labcat.ufba

<sup>&</sup>lt;sup>3</sup> Departamento de Tecnologia de Processos e Instalações, Universidade Tecnológica de Brandemburgo (BTU), Cottbus-Senftenberg, Platz der Deutschen 1, Cottbus, 03046, Alemanha.

<sup>&</sup>lt;sup>4</sup> Laboratório de Processos Sustentáveis e Energias Renováveis (LAPSER), Departamento de Engenharia Química e Programa de Pós-Graduação em Engenharia de Produção, Universidade Federal da Bahia, R. Prof. Aristídes Novis, 2 - Federação, Salvador, BA 40210–630, Brasil

<sup>\*</sup> Autor correspondente: jose.cunha@ufba.br



Catalisadores de Ni são os mais amplamente empregados para a reforma a seco do biogás. O suporte tem o papel de aumentar a área de superfície disponível para a reação catalítica, além de fornecer estabilidade térmica e mecânica ao catalisador, logo estudar o melhor suporte para catalisadores de Ni é extremamente importante para otimizar a eficiência do processo. O suporte adequado aumenta a dispersão de Ni e a área ativa do catalisador, resultando em materiais com maior atividade catalítica, bem como aumenta a durabilidade e estabilidade do catalisador (3).

O método da combustão destaca-se em relação aos demais métodos de síntese, pois é possível sintetizar o catalisador em uma única etapa. Outra vantagem do método da combustão é a produção de partículas finamente dispersas e altamente homogêneas, resultando em catalisadores de alta pureza(4). Com base nessas considerações, o presente estudo visa selecionar o melhor suporte para catalisadores à base de níquel, preparados pelo método de combustão, visando a reforma a seco de biogás para produção de hidrogênio sustentável.

# **Experimental**

## Preparação dos catalisadores

Os materiais foram preparados pelo método da combustão, utilizando precursores de grau analítico. O método de combustão baseia-se na mistura física de precursores nitratos com um combustível, neste caso, a ureia, nas proporções estequiométricas desejadas. Após a homogeneização completa dos reagentes, observou-se a formação de um gel, que foi então colocado em mufla préaquecida a 400°C, onde ocorre a auto-ignição. Uma vez concluído o processo de combustão, os sólidos resultantes permaneceram por mais 30 minutos para eliminar nitrato ou resíduos carbonáceos. Por fim, os materiais foram calcinados a 800°C por 3 horas e peneirados entre 100-200 mesh. A composição dos materiais foi feita com 30% de NiO em 5 diferentes suportes: MgO, ZrO<sub>2</sub>, Al<sub>2</sub>O<sub>3</sub>, La<sub>2</sub>O<sub>3</sub> e CeO<sub>2</sub>, gerando os seguintes catalisadores: NiO-MgO; NiO-ZrO<sub>2</sub>; NiO-Al<sub>2</sub>O<sub>3</sub>; NiO-La<sub>2</sub>O<sub>3</sub> e NiO-CeO<sub>2</sub>.

# Caracterização dos catalisadores

A análise elementar dos materiais foi determinada aplicando-se a técnica de Espectrometria por Fluorescência de Raios X (WD-FRX), utilizando um espectrômetro da Bruker modelo S8 Tiger. As amostras foram analisadas em forma de pastilhas em uma base de ácido bórico, prensadas a 5 N e contendo 0,5 g de cada amostra sem adição de aglomerantes.

As estruturas cristalinas dos materiais produzidos foram avaliadas por difração de raios X. Os difratogramas foram



obtidos por um difratômetro Shimadzu XRD 6000, numa faixa 20 de 5 a 80°, com intervalo de 2° min<sup>-1</sup> e 0,02 s de integração, operando com radiação monocromática CuK $\alpha$  ( $\lambda$  = 1,5418 Å) gerada a 40 kV, 30 mA.

A redutibilidade das amostras foi avaliada por meio de experimentos de Redução termo programada com H<sub>2</sub> (TPR-H<sub>2</sub>) utilizando um ChemBET Pulsar (Anton Paar) equipado com um detector de condutividade térmica (TCD). Geralmente, 50 mg de amostra são carregados em um reator de quartzo em forma de U. Sob a mistura de gás redutor (10%) H<sub>2</sub>/N<sub>2</sub>, o H<sub>2</sub>-TPR foi registrado desde a temperatura de 25 até 900°C, utilizando uma taxa de aquecimento de 10°C min<sup>-1</sup>.

A área metálica e dispersão de Ni dos catalisadores préreduzidos também foi avaliada no dispositivo ChemBET Pulsar (AntonPar) por dessorção termoprogramada de H<sub>2</sub> (TPD-H<sub>2</sub>). Antes do TPD-H<sub>2</sub>, as amostras foram préreduzidas sob vazão de 50 mL min<sup>-1</sup> de H<sub>2</sub>/N<sub>2</sub> a 700°C por 1 h. Posteriormente, os catalisadores foram resfriados em atmosfera de N<sub>2</sub>. As amostras foram expostas por 60 min a vazão de H<sub>2</sub> de 50 mL min<sup>-1</sup> em temperatura ambiente e, em seguida, as espécies fisissorvidas de H<sub>2</sub> foram purgadas por 30 min usando a mesma vazão de N<sub>2</sub>. O TPD-H<sub>2</sub> foi conduzido sob vazão de N<sub>2</sub> usando uma taxa de aquecimento de 10°C min<sup>-1</sup> até 900°C. A dispersão do metal foi estimada a partir das quantidades de H<sub>2</sub> dessorvido, assumindo a estequiometria H:Ni = 1(3)(4).

### Teste Catalítico

Inicialmente reduziu-se 200 mg de catalisador a uma temperatura de 700°C em uma vazão total de 100 mL min<sup>-1</sup> durante uma hora na composição 10% de H<sub>2</sub> em N<sub>2</sub> (balanço). Após a redução, foram realizados os testes catalíticos em um reator de leito fixo (PID) com analisador de gases acoplado, com uma vazão total de 100 mL min<sup>-1</sup>, sendo 35 mL min<sup>-1</sup> de CH<sub>4</sub>, 35 mL min<sup>-1</sup> de CO<sub>2</sub> e 30mL min<sup>-1</sup> de N<sub>2</sub> durante 8 h. A conversão de CH<sub>4</sub> e CO<sub>2</sub>, bem como a razão H<sub>2</sub>/CO e o rendimento de H<sub>2</sub> foram determinados pelas seguintes equações:

$$X_{CH_4}(\%) = \frac{nCH_{4,in} - nCH_{4,out}}{nCH_{4,in}} \cdot 100$$
 (2)

$$X_{CO_2}(\%) = \frac{nCO_{2,in} - nCO_{2,out}}{nCO_{2,in}} \cdot 100$$
 (3)

$$\frac{H_2}{CO} = \frac{nH_{2,out}}{nCOout} \tag{4}$$

$$Y_{H_2}(\%) = \frac{nH_2}{2.\,nCH_4}.100\tag{5}$$

# Resultados e Discussão



#### Fluorescência de Raios X (FRX)

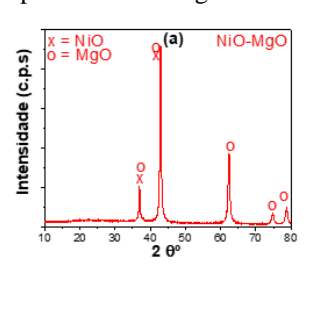
A análise elementar dos materiais sintetizados determinada por Espectrometria por Fluorescência de Raios X (FRX) é mostrada na Tabela 1. Observou-se que a composição final dos materiais é bastante próxima à desejada, mostrando que o método de combustão foi uma boa rota de síntese para se obter materiais com controle estequiométrico.

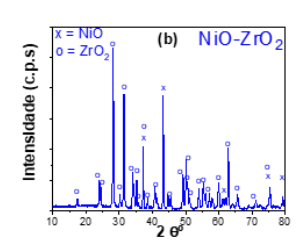
Tabela 1. Análise Elementar dos catalisadores por FRX.

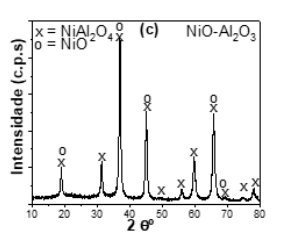
-	Catalisadores				
Teor (%)	NiO- MgO	NiO- ZrO <sub>2</sub>	NiO- Al <sub>2</sub> O <sub>3</sub>	NiO- La <sub>2</sub> O <sub>3</sub>	NiO- CeO <sub>2</sub>
NiO	27,00	30,42	32,46	28,09	25,74
Suporte	72,57	67,49	66,92	72,24	71,65
Outros	0,43	2,08	0,6	0,67	2,61

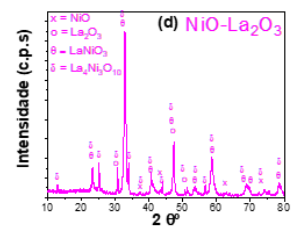
#### Difratometria de raios-x (DRX)

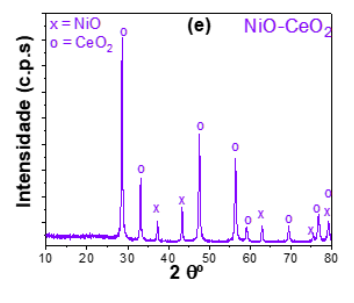
A análise de difratometria de raios-X dos catalisadores é apresentada na Figura 1.











**Figura 1.** Difratometria de raios-X dos catalisadores (a) NiO-MgO; (b) NiO-ZrO2; (c) NiO-Al2O3; (d) NiO-La2O3; (e)NiO-CeO2.



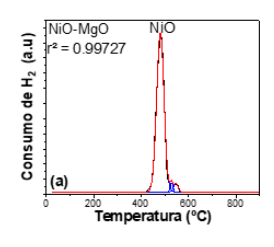
A análise dos difratogramas de raios X indicou que o catalisador NiO-MgO apresenta fases de NiO e MgO, com todos os picos compatíveis com essas estruturas. No caso do catalisador NiO-ZrO<sub>2</sub>, foram observadas as fases de NiO e ZrO<sub>2</sub>.

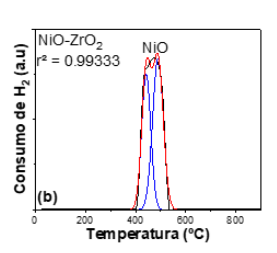
Para o catalisador NiO-Al<sub>2</sub>O<sub>3</sub>, a fase predominante é o NiAl<sub>2</sub>O<sub>4</sub> com estrutura espinélio. A literatura aponta que essa fase se forma com o aumento da temperatura de calcinação, devido ao consumo de Al<sub>2</sub>O<sub>3</sub> (5). Embora não tenham sido observados picos claros de Al<sub>2</sub>O<sub>3</sub>, não se descarta a sobreposição com os picos do espinélio, e a presença de NiO também é possível.

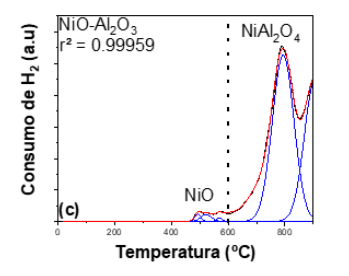
O catalisador NiO-La $_2$ O $_3$  contém múltiplas fases, incluindo NiO, La $_2$ O $_3$ , LaNiO $_3$  e La $_4$ Ni $_3$ O $_{10}$ . Já o catalisador NiO-CeO $_2$  apresentou apenas as fases de NiO e CeO $_2$ .

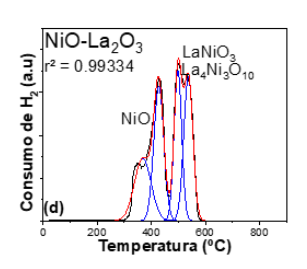
Redução termoprogramada de H<sub>2</sub> (TPR-H<sub>2</sub>)

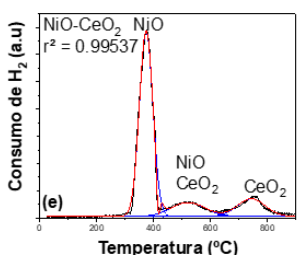
A Figura 2 apresenta os perfis de  $TPR-H_2$  dos catalisadores.











**Figura 2.** TPR-H<sub>2</sub> dos catalisadores (a) NiO-MgO; (b) NiO-ZrO<sub>2</sub>; (c) NiO-Al<sub>2</sub>O<sub>3</sub>; (d) NiO-La<sub>2</sub>O<sub>3</sub>; (e)NiO-CeO<sub>2</sub>

A análise de TPR-H<sub>2</sub> mostra que o catalisador NiO-MgO possui três picos de redução entre 481°C e 565°C, relacionados à redução de NiO com diferentes tamanhos e cristalinidades, indicando forte interação com MgO. O NiO-



ZrO<sub>2</sub> apresenta dois picos (442°C e 489°C), sugerindo uma interação moderada com o suporte.

O catalisador NiO-Al<sub>2</sub>O<sub>3</sub> tem picos abaixo de 600°C, associados ao NiO livre, e picos em 794°C e 900°C relacionados à redução parcial da fase espinélio NiAl<sub>2</sub>O<sub>4</sub>, cuja redução completa exigiria temperaturas superiores a 900°C (6).

O NiO-La<sub>2</sub>O<sub>3</sub> mostra múltiplos picos de redução, atribuídos ao NiO livre e às fases LaNiO<sub>3</sub> e La<sub>4</sub>Ni<sub>3</sub>O<sub>10</sub>, que contribuem para melhor dispersão do Ni<sup>0</sup> e maior atividade catalítica (7). O catalisador NiO-CeO<sub>2</sub> exibe picos em 373, 415 e 743°C, indicando a redução de NiO com diferentes interações com CeO<sub>2</sub> e, em alta temperatura, a redução parcial da céria. A formação de vacâncias de oxigênio durante essa etapa pode favorecer a redução do NiO (8).

A quantificação do consumo de  $H_2$  nos perfis da Figura 2 são mostrados na Tabela 2.

Tabela 2. Consumo de hidrogênio no TPR dos catalisadores.

Amostra	T <sub>m</sub> (°C) n H <sub>2</sub> (mmol)	n H <sub>2</sub>	Consumo de H <sub>2</sub> (mmol g <sup>-1</sup> )	
		Experimental	Nominal	
	482	3,43 x 10 <sup>-3</sup>		
NiO-MgO	529	4,89 x 10 <sup>-5</sup>	3,60	3,61
	547	7,27 x 10 <sup>-5</sup>		
NiO-ZrO2	442	$1,65 \times 10^{-3}$	2.96 4.07	4,07
NIO-ZIO2	489	$2,15 \times 10^{-3}$	3,86	4,07
	492	1,29 x 10 <sup>-3</sup>		
	521	$1,55 \times 10^{-3}$		
NiO-Al <sub>2</sub> O <sub>3</sub>	575	1,07 x 10 <sup>-3</sup>	1,01	4,35
	794	3,22 x 10 <sup>-2</sup>		
	900	1,24 x 10 <sup>-2</sup>		
	368	6,82 x 10 <sup>-4</sup>		
NIO I - O	428	8,77 x 10 <sup>-4</sup>	2 22	2.45
NiO-La <sub>2</sub> O <sub>3</sub>	498	7,50 x 10 <sup>-4</sup>	3,23	3,45
	537	8,59 x 10 <sup>-4</sup>		
	373	2,22 x 10 <sup>-3</sup>		
NiO-CeO <sub>2</sub>	416	4,24 x 10 <sup>-4</sup>	3,49	7,96
	743	4,41 x 10 <sup>-4</sup>		

## Área metálica e dispersão

A Tabela 3 apresenta os valores de área metálica e dispersão de Ni estimadas por TPD-H<sub>2</sub>. Os cáculos de área metálica está relacionado á quantidade de hidrogênio que é adsorvido e dessorvido da superfície metálica enquanto a dispersão de Ni é a fração de átomos de Ni que estão na superfície, acessíveis para as reações catalíticas.

Tabela 3. Área metálica e dispersão para os catalisadores.

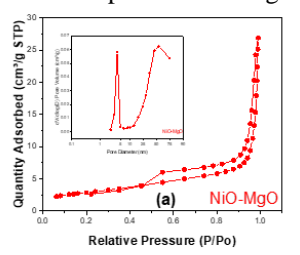
Catalisador	Área metálica (m²/g)	Dispersão de Ni (%)
NiO-MgO	7,84	6,21
NiO-ZrO <sub>2</sub>	13,52	10,71
NiO-Al <sub>2</sub> O <sub>3</sub>	29,48	23,35
NiO-La <sub>2</sub> O <sub>3</sub>	20,04	15,87
NiO-CeO <sub>2</sub>	28,58	22,64

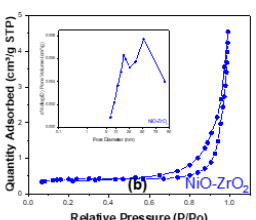


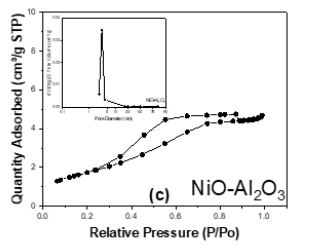
Os catalisadores NiO-Al<sub>2</sub>O<sub>3</sub> e NiO-CeO<sub>2</sub> apresentaram as maiores áreas metálicas e melhor dispersão de níquel, o que indica maior potencial catalítico na reforma seca de biogás. A alumina (Al<sub>2</sub>O<sub>3</sub>) favorece a formação de nanopartículas ativas de níquel por sua alta área superficial e interação moderada com NiO. A céria (CeO<sub>2</sub>), com alta capacidade redox, evita a sinterização do níquel, promovendo maior dispersão e atividade catalítica (9-10).

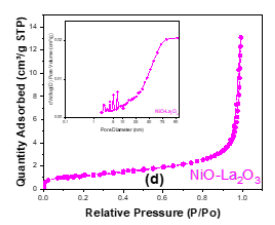
#### Análise textural

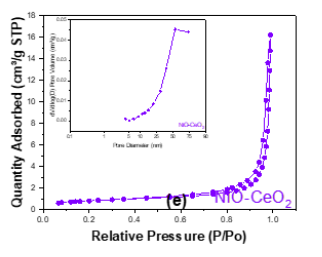
Como esperado para catalisadores preparados pelo método da combustão, os materiais apresentaram baixas áreas BET e volume de poros (11). As isotermas de adsorção/dessorção de N2 (Figura 3) dos catalisadores NiO-MgO, NiO-ZrO<sub>2</sub> e NiO-CeO<sub>2</sub> mostram que todos apresentam isotermas do tipo II, indicativas de superfícies sólidas pouco ou não porosas. O NiO-MgO e o NiO-ZrO2 apresentam loops de histerese H4 e H3, respectivamente, associados a mesoporosos de diferentes formas e conectividades. A ausência de histerese no NiO-CeO2 sugere uma estrutura predominantemente macroporosa, sem condensação capilar (12). O catalisador NiO-Al<sub>2</sub>O<sub>3</sub> exibe isoterma do tipo IVa, típicas de materiais mesoporosos, com histerese H2.a, indicando poros com formas irregulares. O NiO-La<sub>2</sub>O<sub>3</sub>, por outro lado, apresenta isotermas do tipo II sem loop de histerese, sugerindo uma estrutura mais aberta e menos porosa, sem mesoporos significativos (12), conforme apresentam a Figura 3 e a Tabela 4













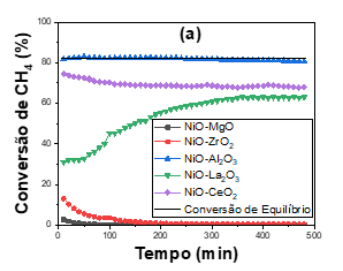
**Figura 3.** Isotermas de adsorção/dessorção de N<sub>2</sub> e distribuição de volume de poros calculados pelo método BJH dos catalisadores: (a) NiO-MgO; (b) NiO-ZrO<sub>2</sub>; (c) NiO-Al<sub>2</sub>O<sub>3</sub>; (d) NiO-La<sub>2</sub>O<sub>3</sub> (e) NiO-CeO<sub>2</sub>.

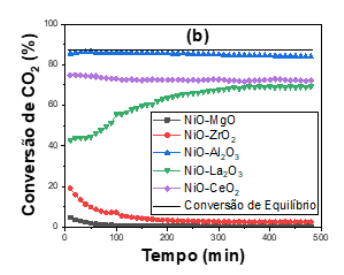
Tabela 4. Propriedades texturais dos catalisadores

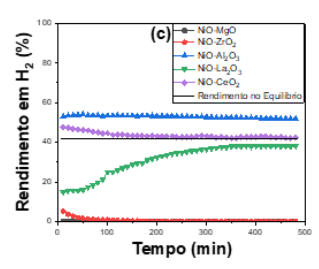
.Catalisador	$S_{BET}(m^2/g)$	V <sub>P</sub> (cm <sup>3</sup> /g)	dp (nm)
NiO-MgO	10	0,042	14
NiO-ZrO <sub>2</sub>	1	0,007	27
NiO-Al <sub>2</sub> O <sub>3</sub>	6	0,007	4
NiO-La <sub>2</sub> O <sub>3</sub>	4	0,020	21
NiO-CeO <sub>2</sub>	3	0,025	40

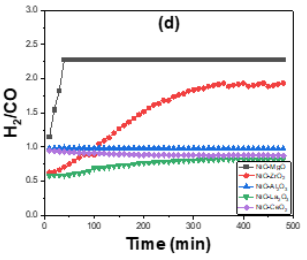
#### Teste Catalítico

A Figura 4 apresenta os resultados dos testes catalíticos expressos na forma de conversão de CH<sub>4</sub> e CO<sub>2</sub>, rendimento em H<sub>2</sub> e razão H<sub>2</sub>/CO.









**Figura 4.** Teste de longa duração dos catalisadores na reforma a seca do biogás ( $CH_4/CO_2=1$ ): (a) Conversão de  $CH_4$ ; (b) Conversão de  $CO_2$ ; (c) Rendimento em  $H_2$ ; e (d) Razão  $H_2/CO$ . Condições:  $m_{cat}=0.2g$ ; Vazão total = 100mL/min;  $CH_4:CO_2:N_2=$ ;1/1/0.86 T =  $700^{\circ}C$ .

A análise da Figura 4 mostra que os catalisadores NiO-MgO e NiO-ZrO<sub>2</sub> apresentaram baixas conversões de CH<sub>4</sub> e CO<sub>2</sub> e, consequentemente, baixo rendimento em H<sub>2</sub>. Contudo, exibiram razões H<sub>2</sub>/CO elevadas, superiores ou próximas a 2, o que sugere predominância de reações secundárias, como à decomposição do metano (13). Esse comportamento está relacionado à baixa área metálica e à baixa dispersão de Ni.

Por outro lado, o catalisador NiO-La<sub>2</sub>O<sub>3</sub> apresentou aumento gradual da atividade catalítica ao longo do tempo, alcançando estabilidade após cerca de 300 minutos. Essa ativação progressiva está ligada à redução lenta do NiO e à



atuação do suporte La<sub>2</sub>O<sub>3</sub> como promotor textural, além de sua capacidade de minimizar a formação de coque.

O catalisador NiO-CeO<sub>2</sub> apresentou altas conversões iniciais de CH<sub>4</sub> e CO<sub>2</sub> e bom rendimento em H<sub>2</sub>, mas sofreu desativação ao longo do tempo, possivelmente por formação de coque ou sinterização de Ni. Um ponto relevante é que esse catalisador superou o limite termodinâmico de rendimento de H<sub>2</sub> no início da reação, o que indica a ocorrência de reações paralelas, como a decomposição do metano e a reforma a vapor do metano. Essas reações secundárias contribuem para uma maior geração de H<sub>2</sub> nos estágios iniciais.

O catalisador NiO-Al<sub>2</sub>O<sub>3</sub> foi o que apresentou o melhor desempenho, com conversões de CH<sub>4</sub> e CO<sub>2</sub> próximas ou iguais ao limite termodinâmico e uma razão H<sub>2</sub>/CO em torno de 1, compatível com o equilíbrio. Seu excelente desempenho é atribuído à alta dispersão de Ni, grande área metálica e boa interação metal-suporte. Além disso, manteve sua atividade catalítica por 8 horas de reação, mostrando ser estável e promissor para uso prolongado. Também é provável que reações paralelas estejam contribuindo para a alta produção de H<sub>2</sub> observada nesse sistema.

Na literatura, catalisadores NiO/Al $_2$ O $_3$  preparados pelo método da impregnação alcançaram valores de conversão de CH $_4$  55% e CO $_2$  de 55%, respectivamente (9), enquanto o catalisador deste trabalho atingiu valores de conversão de CH $_4$  e CO $_2$  superiores a 80%.

Outros estudos com catalisadores NiO-Al $_2$ O $_3$  foram realizados. Catalisadores 8% NiO-Al $_2$ O $_3$  e 8% NiO-2% K-Al $_2$ O $_3$  foram preparados pelo método da impregnação, atingindo valores de 31,6% de conversão de CH $_4$  e 22,8% de conversão de CO $_2$  (14). Outros estudos da literatura mostram que catalisador 3% Pt/10% Ni/Al $_2$ O $_3$  apresentou conversões de CH $_4$  e CO $_2$  de 75 e 75% respectivamente (15). Isso mostra que o catalisador NiO-Al $_2$ O $_3$  deste trabalho supera os catalisadores da literatura, mostrando assim o seu potencial para ser utilizado na reforma a seco do biogás.

# Caracterização dos materiais pós teste.

A avaliação da quantificação de coque se deu por análise térmica em atmosfera de ar sintético. Os teores calculados para os catalisadores são apresentados na Tabela 5

**Tabela 5.** Quantidade de coque formada após teste de 8 horas de duração.

Catalisador	Coque (%)
NiO-MgO	2.2
$NiO-ZrO_2$	0.73
$NiO-Al_2O_3$	1.9
NiO-La <sub>2</sub> O <sub>3</sub>	2.7
NiO-CeO <sub>2</sub>	6.4



O catalisador NiO-ZrO<sub>2</sub> apresentou a menor formação de coque (0,73%), provavelmente devido à sua baixa atividade catalítica. O NiO-Al<sub>2</sub>O<sub>3</sub> teve formação de 1,9%, indicando que a fase espinélio NiAl<sub>2</sub>O<sub>4</sub> pode reduzir a formação de coque, conforme apontado na literatura (16). O catalisador NiO-MgO, apesar da baixa atividade, gerou 2,2% de coque, o que pode estar relacionado à ocorrência de reações paralelas indesejadas, como a reação de Boudouard e a decomposição do monóxido de carbono.

O catalisador NiO-La<sub>2</sub>O<sub>3</sub> teve 2,7% de coque, mas isso não comprometeu sua atividade, que aumentou ao longo do tempo. Por outro lado, o NiO-CeO<sub>2</sub> acumulou 6,4% de coque, o maior teor de coque entre os catalisadores, o que justifica sua desativação progressiva. Isso pode estar associado à redução excessiva de Ce<sup>4+</sup> para Ce<sup>3+</sup>, o que compromete sua capacidade de fornecer oxigênio e favorece o acúmulo de carbono.

## Conclusões

A escolha do suporte tem papel fundamental no desempenho dos catalisadores de Ni aplicados à reforma a seco do biogás. O catalisador NiO-Al<sub>2</sub>O<sub>3</sub> se destacou como o mais promissor, combinando elevada dispersão de Ni, grande área metálica, alta conversão de reagentes, rendimento em H2 superior ao equilíbrio termodinâmico e excelente estabilidade catalítica. O NiO-La<sub>2</sub>O<sub>3</sub> também demonstrou bom desempenho, com aumento gradual de atividade e resistência à deposição de coque. Em contrapartida, os catalisadores NiO-MgO e NiO-ZrO2 apresentaram baixa conversão e menor rendimento, sendo que o primeiro também favoreceu reações paralelas indesejadas, aumentando a formação de coque. O NiO-CeO2 apresentou elevada atividade inicial, mas rápida desativação, atribuída à formação de coque e possível sinterização de Ni. Assim, os resultados demonstram que a sinergia entre Ni e o suporte é determinante para garantir alta performance e durabilidade dos catalisadores na reforma a seco do biogás.

## Agradecimentos

Os autores agradecem à Capes (001) e à GIZ (Deutsche Gesellschaft für Internationale Zusammenarbeit GmbH) pelo suporte financeiro através do Programa de Inovação em Hidrogênio Verde (iH2Brasil). Este programa é uma realização da Aliança Brasil-Alemanha de Hidrogênio Verde com apoio do projeto H2Brasil, que integra a Cooperação Brasil-Alemanha para o Desenvolvimento Sustentável e é implementado pela GIZ e pelo Ministério de Minas e Energia (MME) com apoio do Ministério Federal da Cooperação Econômica e do Desenvolvimento (BMZ) da Alemanha. O principal objetivo do H2Brasil é apoiar a expansão do mercado de hidrogênio verde e produtos



derivados no Brasil. Os autores agradecem ainda ao projeto Probral/Capes (Processo 88887.937729/2024-00) e ao projeto CATSUS-H<sub>2</sub> do CNPq (Processo no. 405869/2022-3).

#### Referências

- C. Bento; T. F. Lopes; P. Rodrigues; F. Gírio; C. Silva, Int J. Hyd Ener, 2024, 66, 661-675.
- M. Fedeli; F. Negri; A. Bornazzini; L. Montastruc; F. Manenti; A. A. Kiss. *J Cle Prod*, 2024, 443, 141060.
- 3. S. N. Delgado; C. M. A. Medina; V. Montes; J. F. Gonzalez. *Cat*, **2023**, 13, 1482
- 4. A. Varma; A.S. Mukasyan; A.S. Rogachev; K.V.Manukyan. *Chem Rew*, **2016**, 116, 14493-14586.
- 5. V. Elakkiya; Yash Agarwal; Shanmugam Sumathi. *Sol Sta Sci*, **2018**, 82, 92-98
- R. Benrabaa; A. Barama; H. Boukhlouf; J. G. Caballero; A. Rubbens; E. B. Richard; A. Löfberg; R. N. Vannier. *Int J. Hyd Ener*, 2017, 42, 12989-12996.
- D. C. D. L. Lima; I. P. Lemos; R. S. Gomes; L. M. T. S. Rodrigues; R. T. Frety; R. B. S. Junior; S.T. Brandão. *Catal. Lett.*, 2023, 153, 2137-2148.
- 8. X. Cao; T. Pu; B. M. Lis; I. E. Wachs; C. Peng; M. Zhu; Y. Hu. *Eng*, **2022**, 14, 94-99
- A. N. T. Cao; H. H. Nguyen; T. P. T. Pham; L. K. H. Pham; D.H.L.Phuong; N. A. Nguyen; D. V. N. Vo; P. T. H. Pham. *J. Ene Ins*, 2023, 108, 101252.
- 10. R. Chava; A. V. D. Bhaskar; B. Roy; S. Appari. *Mater. Today Proc.*, **2023**, 72, 134-139.
- P. Sintuya; S. Charojrochkul; M. Chanthanumataporn;
  S. Wongsakulphasatch; S. Assabumrungrat; S. Ratchahat. *Int. J. Hydrogen Ener.*, 2024, 86, 58-71.
- M. Thommes; K. Kaneko; A. V. Neimark; J. P. Olivier;
  F. R. Reinoso; J. Rouquerol; K. S. W. Sing. *Pure Appl. Chem*, 2015, 10, 1051-1069.
- 13. I.I.Bayraktar; H.E.Figen. Int. J. Hydrogen Ener., 2025, 86, 58-71.
- 14. Y.Zeng; G. Chen; J.Wang; R.Zhou; Y.Sun; A.Weidenkaff; B.Shen; X.Tu. J.Ener.Inst, 2022, 104, 12-21.
- 15. R.Chein; Z.Yang. ACS OM, 2019, 4, 20911-20922.
- M.Chuenjai; S. Wongsakulphasatch; N.Yong; W. Maneeprakorn; K. Sudsakorn; V.Tongan; U.W.Hartley; S. Ratchahat; W. Kiatkittipong; S. Assabumrungrat, 2022, 98, 41386-41396.